

혼화재 종류 및 대체율에 따른 고강도콘크리트의 수화열 저감 효과

Reducing effect for Hydration Heat of High-Strength Concrete
according to Admixture Types and Replacement Ratios

유 범 재* 김 용 로* 최 세 진*
Yu, Beom Jae Kim, Yong Ro Choi, Se Jin

김 상 윤** 김 상 규*** 김 무 한****
Kim, Sang Yun Kim, Sang Gyu Kim, Moo Han

ABSTRACT

The hydration of cement paste occurs when the cement is mixed with water. During the hydration, hydration heat causes the thermal stress depending on the size of concrete and the cement content. Especially in the high-strength concrete, we must give care to the concrete due to its large cement content.

In this study, conduction calorimeter and concrete insulation hydration heat meter were used to investigate the hydration heat characteristics of cement and concrete. To reduce hydration heat of high-strength concrete, several types of replacement of fly-ash and blast-furnace slag powder were used in this experiment.

1. 서론

콘크리트 타설 후의 경화과정에서 발생하는 수화발열에 의한 온도상승은 강도 발현을 비롯하여 콘크리트의 제성질에 영향을 미치게 된다. 이러한 콘크리트의 온도상승은 단위시멘트량이 많은 고강도 콘크리트에서 크게 일어나며, 콘크리트 내외부의 온도차로 인한 온도응력에 의하여 균열이 발생하게 된다. 특히 최근 콘크리트 구조물의 대형화, 고층화, 고강도화 추세에 따라 수화열에 의한 균열을 예방하기 위한 각종 기술 및 공법에 많은 관심을 기울이고 있는 상황이다.^{1),2),3)}

따라서 본 연구는 고강도콘크리트 제조시 높은 단위결합재량을 필요로 하기 때문에 발생할 수 있는

* 정회원, 충남대학교 건축공학과 대학원

** 정회원, (주)대화 품질보증팀, 시험실장

*** 정회원, 대한주택공사 주택연구소 책임연구원

**** 정회원, 충남대학교 건축공학과 교수

표 1 실험계획 및 배합

구분	물 결합재 비 (%)	혼화재 대체율 (%)	잔골 재율 (%)	단위 수량 (kg/m ³)	단위증량(kg/m ³)					측정항목
					C ¹⁾	FA ²⁾	BFS ³⁾	S ⁴⁾	G ⁵⁾	
Plain	30.5	0	43	560	-	-	705	943		1. 공기량, 슬럼프-플로우 2. 미소수화열분석(~72시간) 3. 간이단열온도상승시험(~7일) 4. 압축강도(7, 28일) 5. 코아 압축강도(7, 28일)
FA15		15		476	84	-	691	923		
FA30		30		392	168	-	677	904		
FA45		45		308	252	-	662	886		
BFS30		30		392	-	168	702	938		
BFS45		45		308	-	252	701	936		
BFS60		60		224	-	336	700	933		

* 1) C : 시멘트, 2) FA : 플라이애시, 3) BFS : 고로슬래그미분말, 4) S : 잔골재, 5) G : 굽은골재

온도상승에 대한 실험적 연구로서, 높은 단위시멘트량을 줄이기 위한 혼화재료인 플라이애시와 고로슬래그미분말을 사용하여 대체율에 따른 고강도콘크리트의 수화열 억제효과를 비교·검토하고자 하였다.

2. 실험계획 및 방법

2.1. 실험계획 및 배합

본 실험의 실험계획 및 배합은 표 1에 나타낸 바와 같이 혼화재 종류 및 대체율에 따른 고강도콘크리트의 수화열 억제효과를 비교·검토하기 위하여 예비실험을 통하여 물결합재비는 30.5%, 단위수량은 171kg/m³로 설정하였으며, 시멘트 중량에 대한 플라이애시 대체율은 15, 30, 45%, 고로슬래그미분말 대체율은 30, 45, 60%의 각각 3 수준으로 설정하였다. 고성능감수제 첨가량은 고성능감수제의 영향을 배제하기 위하여 1.6%로 동일 첨가하였다.

측정항목은 굳지않은 콘크리트의 경우 비빔직후의 공기량 및 슬럼프-플로우 시험을 실시하였으며, 플라이애시 및 고로슬래그미분말 대체율에 따른 고강도콘크리트의 수화열 억제효과를 검토하기 위해서 미소수화열분석과 간이단열온도상승시험을 실시하였다. 또한, 경화콘크리트의 경우 압축강도 발현 성상을 분석·검토하기 위해 재령 7, 28일에서 압축강도를 측정하였으며, 표준공시체와의 비교를 위한 코아공시체의 압축강도를 재령 7, 28일에 측정하였다.

2.2. 사용재료 및 비빔방법

본 연구에서 사용한 재료의 물리적 성질은 표 2와 같이 시멘트는 1종 보통포틀랜드시멘트를 사용하였으며, 혼화재는 분말도 2,976cm²/g의 플라이애시와 분말도 4,379cm²/g의 고로슬래그미분말을 사용하였다. 골재로서 잔골재는 조립율 3.04의 제염사, 굽은골재는 최대치수 20mm의 부순자갈을 사용하였다.

콘크리트의 비빔방법은 혼화재, 시멘트, 잔골재를 먼저 건비빔을 한 후, 물, 고성능감수제, 굽은골재를 투입하는 분할투입방식을 실시하였으며, 비빔시간은 총 210초가 소요되었다.

표 2. 사용재료의 물리적 성질

사용재료		물리적 성질	
시 멘 트		· 1종 보통포틀랜드 시멘트 · 비중 : 3.15,	· 분말도 : 3,630 cm ² /g
혼화재	FA	· 비중 : 2.12,	· 분말도 : 2,976 cm ² /g
	BFS	· 비중 : 2.99,	· 분말도 : 4,379 cm ² /g
고성능감수제		· 나프탈렌계	· 비중 : 1.19
잔 골 재		· 제염사	· 최대치수 : 5mm
		· 비중 : 2.60	· 조립율 : 3.04
굽은골재		· 부순자갈	· 최대치수 : 20mm · 비중 : 2.62
			· 조립율 : 6.02

2.3. 시험방법

2.3.1. 미소수화열분석

혼화재 종류별 경과시간에 따른 수화발열 특성을 파악하기 위하여 혼화재 대체율별로 물결합재비를 50%로 설정하여 20°C의 환경조건에서 72시간 동안의 경과시간에 따른 수화발열량을 미소수화열량계를 이용하여 측정하였다.

2.3.2. 간이단열온도상승시험방법

단열재로 단열을 실시한 용량 64 l (40×40×40cm)의 거푸집을 제작하여 비빔직후에 콘크리트를 타설한 후, 고강도콘크리트의 수화반응에 의한 수화반응열을 측정하기 위해 열전자쌍인 열전대(Thermocouple)를 콘크리트의 중앙부에 정착하여 Maturity meter로써 콘크리트의 내부의 온도변화를 측정하였다.

표 3. 굳지않은 성상 측정결과

구분	비빔 온도 (°C)	고성능 감수체 첨가율 (%)	공기량 (%)	슬럼프 플로우 (cm)
Plain	26	1.6	5.2	62.0
FA15	26		5.5	66.5
FA30	25		4.4	70.0
FA45	26		3.8	72.0
BFS30	26		4.5	63.5
BFS45	26		4.3	67.5
BFS60	26		4.2	71.0

3. 실험 결과 및 분석

3.1. 굳지않은 콘크리트 측정결과 분석 및 검토

굳지않은 콘크리트의 측정결과는 표 3과 같이 공기량은 Plain의 경우 5.2%로 나타났으며, FA 및 BFS 대체율이 증가할수록 다소 감소하는 경향을 나타내고 있다. 또한, 슬럼프-플로우는 Plain의 경우 62.0cm를 나타내고 있으며, FA 및 BFS의 대체율이 증가할수록 증가하는 경향을 보이고 있다.

3.2. 온도상승시험 결과 분석 및 검토

3.2.1. 미소수화열량 분석 및 검토

표 4는 미소수화열량분석의 결과를 나타낸 것이다, 그림 1은 혼화재 종류 및 대체율에 따른 미소수화발열속도를 나타낸 것이다.

시멘트의 수화반응은 발열반응으로 4시간 이후 시멘트 수화발열속도가 급속히 증가하여 12시간 전후로 최고발열속도를 나타내고 있다. Plain의 최고발열속도는 2.97cal/g/h로 나타났으며, FA 및 BFS의 대체율이 증가할수록 발열속도는 저감되어 Plain에 비해 FA 및 BFS의 대체에 의한 수화발열속도의 저감율은 FA45의 경우 45.5%, BFS60의 경우 42.4%로 나타났다.

또한, 대체율별 72시간 경과 후의 미소수화발열량은 Plain은 64.8cal/g로 나타났으며, FA 및 BFS의 대체율이 증가할수록 수화발열량이 감소하는 것으로 나타났다. FA의 경우, FA15, FA30, FA45는 각각 55.3, 46.8, 38.8cal/g로서 FA 대체율이 증가함에 따라 낮은 수화발열량을 보이고 있으며, BFS의 경우도 BFS30, BFS45, BFS60은 각각 53.7, 48.5, 42.7cal/g로서 BFS 대체율이 증가함에 따라 수화발열량

표 4. 미소수화열량 측정결과

		Plain	FA15	FA30	FA45	BFS30	BFS45	BFS60
발열속도	Max.(cal/g/h)	2.97	2.46	2.07	1.62	2.33	1.98	1.71
	저감율(%)	-	17.2	30.3	45.5	21.5	33.3	42.4
발열량	Max.(cal/g)	64.8	55.3	46.8	38.8	53.7	48.5	42.7
	저감율(%)	-	14.7	27.8	59.9	17.1	25.2	34.1

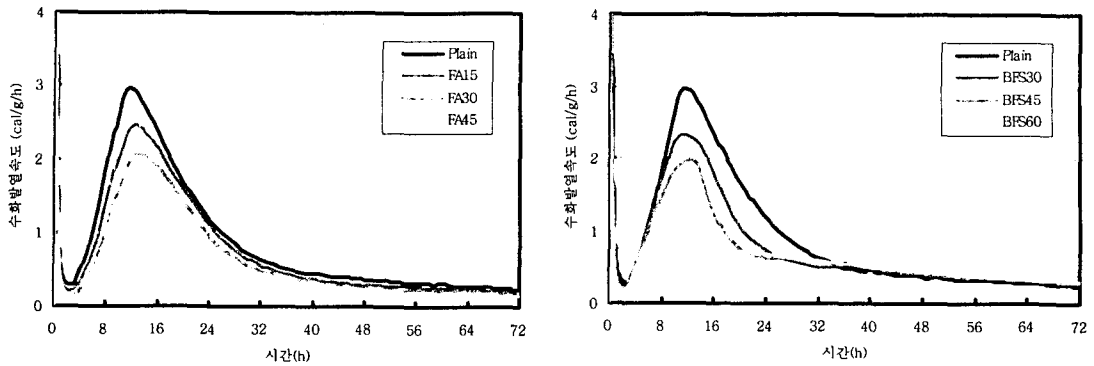


그림 1. 혼화재 종류 및 대체율에 따른 미소수화발열속도

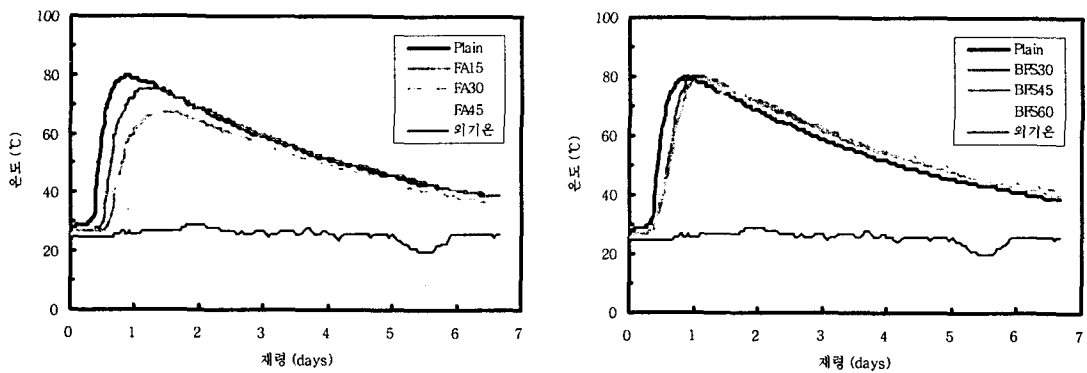


그림 2. 혼화재 종류 및 대체율에 따른 간이단열온도 시험체의 온도변화

이 낮아지고 있다.

미소수화발열속도 및 미소수화발열량은 FA 및 BFS의 대체율이 증가할수록 감소하는 경향을 보이고 있는데 이는 결합재 성분중의 C₃A의 절대량 감소로 나타난 것으로 사료된다.

3.2.2. 간이단열온도상승시험 분석 및 검토

그림 2는 혼화재 종류 및 대체율에 따른 간이단열온도 시험체의 온도이력을 나타낸 것으로 FA 및 BFS 대체율이 증가할수록 최고온도는 낮아지고 있으며, 최고온도 도달시간은 늦어지는 것으로 나타났다.

Plain의 경우 최고온도는 80°C로 나타났으며, FA의 경우 FA15가 75°C, FA30이 67°C, FA45가 62°C로서 Plain에 비해 FA30, FA45의 경우 각각 15°C와 18°C로 대체율이 증가함에 따라 온도저감 효과가 가능하였다. 하지만, BFS의 경우 대체율별 최대온도는 BFS30이 80°C, BFS45가 79°C, BFS60이 76°C로서 대체율에 관계없이 Plain과 유사한 수준의 최고온도를 보이고 있다. BFS의 경우 온도의존성이 높아 단열온도가 커지는 결과를 가져온 것으로 사료된다.⁵⁾

또한 내부의 최고온도 도달시간을 살펴보면 Plain은 20시간, FA의 경우 FA15, FA30 및 FA45은 각각 25.5시간, 30.5시간 및 42.5시간으로 FA의 대체율이 증가할수록 최고온도 도달시간이 지연되고 있으며, BFS의 경우도 BFS30, BFS45 및 BFS60은 각각 22.5시간, 24시간 및 35.5시간으로 BFS의 대체

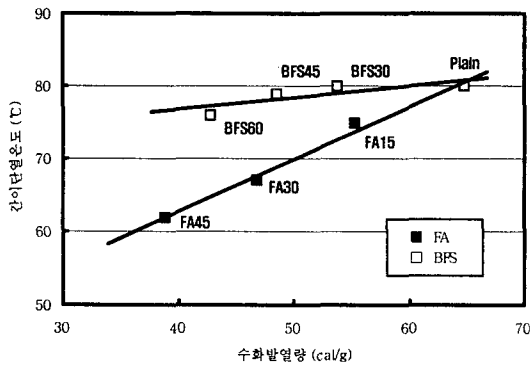


그림 3. 수화발열량과 최고단열온도와의 관계

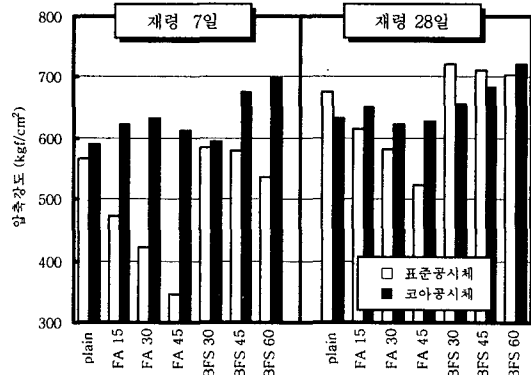


그림 4. 표준공시체와 코아공시체의 압축강도 관계

율이 증가할수록 최고온도 도달시간이 지연되고 있다. FA 및 BFS의 대체율이 증가할수록 최고온도 도달시간이 지연되고 있어, FA 및 BFS의 대체에 의한 수화열 지연효과를 얻을 수 있었다.

콘크리트 온도이력곡선에서 발열이 급격히 직선적으로 상승하는 시점에서 최고온도까지의 온도차를 시간으로 나눈 값인 온도상승속도의 경우 Plain은 $4.00^{\circ}\text{C}/\text{h}$ 로 나타났으며, FA15는 $3.33^{\circ}\text{C}/\text{h}$, FA30는 $2.31^{\circ}\text{C}/\text{h}$, FA45는 $1.41^{\circ}\text{C}/\text{h}$ 로 FA 대체율이 증가할수록 최고온도에 도달하는 온도상승속도는 지연되는 것으로 나타났으며, BFS의 경우에 있어서도 BFS30은 $3.13^{\circ}\text{C}/\text{h}$, BFS45는 $3.38^{\circ}\text{C}/\text{h}$, BFS60은 $2.56^{\circ}\text{C}/\text{h}$ 로 BFS 대체율이 증가할수록 온도상승속도는 지연되는 것으로 나타났다. 그러나, FA 대체의 경우에 비교하여 그 효과는 적은 것으로 나타났다.

3.2.3. 미소수화발열량과 간이단열온도와의 관계

그림 3은 미소수화발열량과 간이단열온도시험의 최고온도의 관계를 나타낸 것으로 FA 및 BFS의 대체율이 증가할수록 미소수화발열량 및 최고온도가 낮아지는 것으로 나타났다. 또한, FA의 경우 미소수화발열량이 증가할수록 단열온도상승속도가 급속하게 증가하는 것으로 나타났지만, BFS의 경우에는 다소 완만한 증가를 나타내고 있다. 이는 BFS의 경우 온도의존성이 FA에 비해 크기 때문에 주변온도가 높을수록 수화반응이 보다 활발하게 이루어져 단열조건하에서 실험할 경우 시료내부에서 발생한 수화열에 의해 온도가 상승하게 되고, 이것이 수화반응을 촉진시켜 결과적으로 간이단열온도상승이 커지는 결과를 가져온 것으로 사료된다.⁵⁾

3.3. 압축강도의 분석 및 검토

그림 4는 표준공시체와 간이단열온도시험체의 코아를 채취한 코아공시체의 재령 7일 및 28일의 압축강도시험 결과를 나타낸 것으로 표준공시체의 경우 FA 및 BFS의 대체율이 증가할수록 압축강도는 감소하고 있었으며, 재령에 7일 및 28일에서의 혼화재 대체율별 압축강도는 FA에 비교하여 BFS의 압축강도가 높게 발현되고 있다.

또한, 재령 7일에서의 코아공시체의 압축강도는 표준공시체보다 높은 압축강도를 보이고 있지만, 재령 28일에서 코아공시체의 압축강도증진이 거의 없어 표준공시체와 차이가 줄어들거나 오히려 표준공시체가 높은 압축강도를 보이고 있다. 코아공시체 재령 7일에서의 압축강도가 높게 발현된 것은 초기의 높은 수화열로 양생온도가 높아졌기 때문으로 사료된다.

4. 결론

플라이애시 및 고로슬래그미분말의 대체율에 따른 고강도콘크리트의 수화열 저감 효과를 검토·분석한 결과 다음과 같은 결론을 얻었다.

- 1) 미소수화열분석 및 간이단열온도상승시험의 결과 플라이애시 및 고로슬래그미분말을 대체함으로써 수화열 저감 효과를 가져올 수 있었다.
- 2) 고로슬래그미분말의 경우 최고온도달시간의 자연효과를 얻을 수 있었지만, 온도저감효과는 플라이애시에 비해 다소 낮은 것으로 나타났다. 이는 고로슬래그미분말의 경우 온도의존성이 플라이애시에 비해 크기 때문에 주변온도가 높을수록 수화반응이 보다 활발하게 이루어져 단열조건하에서 실험할 경우 시료내부에서 발생한 수화열에 의해 온도가 상승하게 되고, 이것이 수화반응을 촉진시켜 결과적으로 간이단열온도상승이 커지는 결과를 가져온 것으로 사료된다.

감사의 글

본 연구는 대한주택공사의 연구과제의 일부임을 밝히며, 본 연구를 위해 협조해주신 대한주택공사 관계자 여러분께 감사드립니다.

참고문헌

1. 김무한 외 ; 플라이애시를 사용한 저발열 콘크리트의 현장적용 및 품질관리, 한국레미콘공업협회 래미콘지 통권 제58호, 1991.1, pp.57~64.
2. 김진근 외 ; 온도저감 공법을 고려한 콘크리트의 수화열 해석기법에 관한 연구, 콘크리트학회논문집 제7권 6호, 1995.12, pp.176~185.
3. 정상진 외 ; 매스콘크리트의 수화열이 압축강도특성에 미치는 영향에 관한 실험적 연구, 대한건축학회학술발표논문집 제18권 제1호, 1998.4, pp.889~894.
4. 김상철 외 ; 혼합형 저발열 시멘트의 특성과 콘크리트 기초 물성에 관한 연구, 콘크리트학회지 제10권 5호, 1998.10, pp.177~187.
5. 国府勝郎 ほか ; 高炉スラグ微分末の用いたコクリートの断熱温度上昇, 日本土木学会 高炉スラグ微分末の用いたコクリートの適用の関するシンポジウム, 1987.3, pp.51~58.
6. 黒羽建嗣 ほか ; 高強度コンクリートの水和発熱による温度上昇がセメントの水和と強度発現に及ぼす影響, コンクリート工学年次論文報告集 Vol.14 No.1, 1992, pp.457~462.